

# Galerkin convida Mr. Deep para um café

Felipe Rocha

`felipe.figueredorocha@epfl.ch`

EAMC, LNCC, Petrópolis, 2021



February 9, 2021

# Que título estranho!?

Metodos Numéricos :  
Elementos Finitos,  
Volumes Finitos,  
Diferenças Finitas, etc



Boris Galerkin  
1871-1945

# Que título estranho!?

Metodos Numéricos :  
Elementos Finitos,  
Volumes Finitos,  
Diferenças Finitas, etc



Boris Galerkin  
1871-1945

Aprendizagem de Máquina:  
Redes Neurais (Profundas),  
Processos Gaussianos, K-means,  
Máquinas de Vetores Suporte, etc



Mr. Deep  
2000 - ?

# Que título estranho!?

Metodos Numéricos :  
Elementos Finitos,  
Volumes Finitos,  
Diferenças Finitas, etc



Boris Galerkin  
1871-1945



Aprendizagem de Máquina:  
Redes Neurais (Profundas),  
Processos Gaussianos, K-means,  
Máquinas de Vetores Suporte, etc



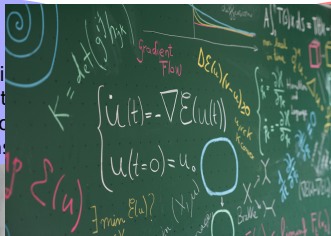
Mr. Deep  
2000 - ?

# Que título estranho!?

Metodos Numéricos  
Elementos Finitos  
Volumes Finitos  
Diferenças Finitas



Boris Galerkin  
1871-1945



Inteligência de Máquina:  
Neurais (Profundas),  
Gaussianos, K-means,  
e Vetores Suporte, etc



Mr. Deep  
2000 - ?

# Objetivos do Workshop

- ▶ Fornecer um ponto de partida para aprender:
  - ▶ Elementos Finitos para quem é originalmente da área de Aprendizado de Máquina.
  - ▶ Redes Neurais (com foco Aprendizado Profundo) para quem é originalmente da área de Métodos Numéricos. Mais particularmente, sob a óptica da matemática aplicada.
- ▶ "Pré-requisitos": Álgebra Linear, Cálculo e Python.
- ▶ Intruduzir duas das bibliotecas livres em cada uma das áreas :
  - ▶ Fenics (<https://fenicsproject.org/>),
  - ▶ Tensorflow ( <https://www.tensorflow.org/>).
- ▶ Repositório do Workshop ( $\geq 10/02/2021$  comentado)  
[https://github.com/felipefr/galerkinML\\_EAMC2021.git](https://github.com/felipefr/galerkinML_EAMC2021.git).
- ▶ Apresentar um exemplo que une as duas áreas utilizando Bases Reduzidas.
- ▶ Sugerir literaturas mais avançadas.

# Outline

Elementos Finitos : Método de Galerkin

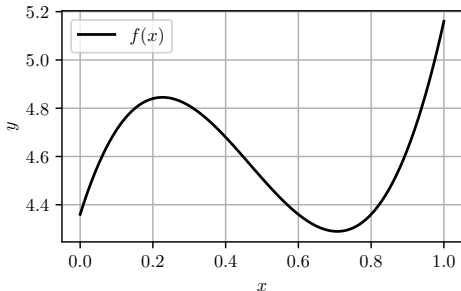
Redes Neurais

"Primeiro Casamento" : Bases Reduzidas

Outras interseccões

# Problema de Aproximação de Funções

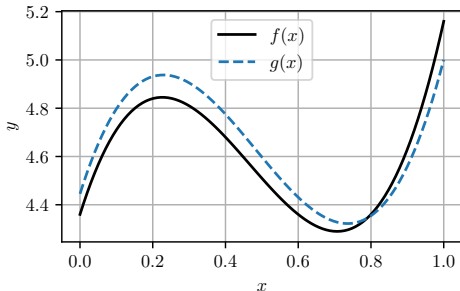
- Quem (= Espaço de dimensão infinita)? Ex: Seja  $f : [0, 1] \rightarrow \mathbb{R}$ ,  $f \in U = C^1(0, 1)$  (Funções contínuas, integráveis, outras derivadas contínuas, etc).





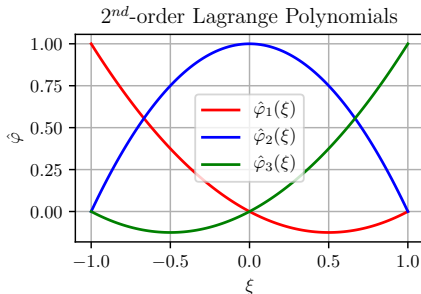
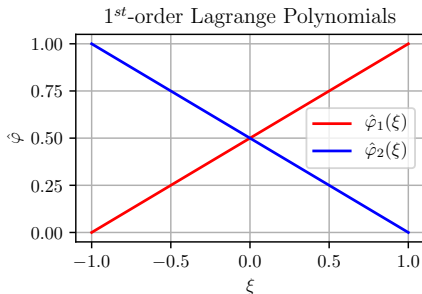
# Problema de Aproximação de Funções

- ▶ Quem (= Espaço de dimensão infinita)? Ex: Seja  $f : [0, 1] \rightarrow \mathbb{R}$ ,  $f \in U = C^1(0, 1)$  (Funções contínuas, integráveis, outras derivadas contínuas, etc).
- ▶ Qual o sentido (=Norma)? Ex:  $(f, g) = \int_0^1 fg dx$ , i.e.,  $\|\cdot\| = \sqrt{(\cdot, \cdot)}$



# Problema de Aproximação de Funções

- ▶ Quem (= Espaço de dimensão infinita)? Ex: Seja  $f : [0, 1] \rightarrow \mathbb{R}$ ,  $f \in U = C^1(0, 1)$  (Funções contínuas, integráveis, outras derivadas contínuas, etc).
- ▶ Qual o sentido (=Norma)? Ex:  $(f, g) = \int_0^1 fg dx$ , i.e.,  $\|\cdot\| = \sqrt{(\cdot, \cdot)}$
- ▶ Candidatas (= Espaço de dimensão finita)?  $u_h \in U_h \subset U$ ,  
 $U_h = \text{span}\{\phi_i\}_{i=1}^n$ .



# Problema de Aproximação de Funções

- ▶ Quem (= Espaço de dimensão infinita)? Ex: Seja  $f : [0, 1] \rightarrow \mathbb{R}$ ,  $f \in U = C^1(0, 1)$  (Funções contínuas, integráveis, outras derivadas contínuas, etc).
- ▶ Qual o sentido (= Norma)? Ex:  $(f, g) = \int_0^1 fg dx$ , i.e.,  $\|\cdot\| = \sqrt{(\cdot, \cdot)}$
- ▶ Candidatas (= Espaço de dimensão finita)?  $u_h \in U_h \subset U$ ,  
 $U_h = \text{span}\{\phi_i\}_{i=1}^n$ .
- ▶ Problema : Achar  $u_h \in U_h$  tal que  $\|u_h - f\| \leq \|v_h - f\| \forall v_h \in U_h$
- ▶ Resolução : Usando  $u_h(x) = \sum_{j=1}^n \alpha_j \phi_j(x)$  temos:

$$\begin{aligned}(u_h - f, v_h) &= 0 \Rightarrow (u_h, v_h) = (f, v_h) \quad \forall v_h \in U_h \\ (u_h, \phi_i) &= (f, \phi_i) \Rightarrow \sum_{j=1}^n (\phi_j, \phi_i) \alpha_j = (f, \phi_i) \quad \forall i \in 1, \dots, n\end{aligned}\quad (1)$$

# Problema de Poisson : Método de Galerkin

- Seja  $\Omega = [0, 1] \times [0, 1] \subset \mathbb{R}^2$ , achar  $u : \Omega \rightarrow \mathbb{R}$  tal que

$$\begin{cases} -\Delta u &= f & \text{em } \Omega \\ u &= 0 & \text{em } \partial\Omega \end{cases} \quad (2)$$

- Seja  $a(u, v) = \int_{\Omega} \nabla u \cdot \nabla v d\Omega$  e  $b(v) = \int_{\Omega} f v d\Omega$ , a condição equivalente a resolver (2) é achar  $u \in U = \{w : \Omega \rightarrow \mathbb{R} ; u|_{\partial\Omega} = 0 \text{ e "regular"}\}$  t.q.

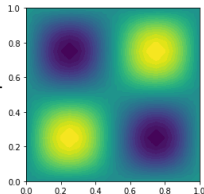
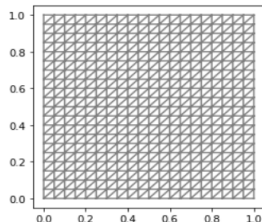
$$a(u, v) = b(v) \quad \forall v \in U. \quad (3)$$

- Método de Galerkin: achar  $u_h \in U_h$  t.q:

$$a(u_h, v_h) = b(v_h) \quad \forall v_h \in U_h \quad (4)$$

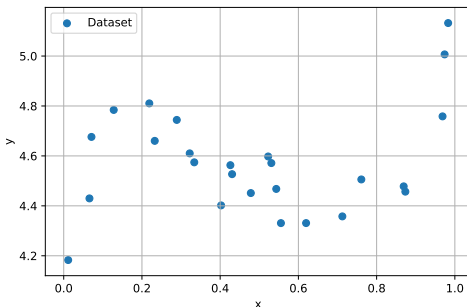
# Problema de Poisson : Código base Fenics

```
1 from dolfin import *
2 import matplotlib.pyplot as plt
3 import numpy as np
4
5 # Solves Poisson in a domain [0,1]x[0,1]
6 def solvePoisson(Nx):
7
8     # Create mesh and define function space
9     mesh = UnitSquareMesh(Nx,Nx)
10    Uh = FunctionSpace(mesh, "Lagrange", 1)
11
12    # Define Dirichlet boundary (the whole border)
13    eps = DOLFIN_EPS
14    def boundary(x):
15        return np.min(x[0:2]) < eps or np.max(x[0:2]) > 1.0 - eps
16
17    # Define boundary condition
18    u0 = Constant(0.0)
19    bc = DirichletBC(Uh, u0, boundary)
20
21    # Define variational problem
22    uh = TrialFunction(Uh)
23    vh = TestFunction(Uh)
24    f = Expression("sin(A*x[0])*sin(A*x[1])/(A*A)", degree=2, A = 2*np.pi)
25    a = inner(grad(uh), grad(vh))*dx
26    b = f*vh*dx
27
28    # Compute solution
29    uh = Function(Uh)
30    solve(a == b, uh, bc)
31
32    return uh
33
34 uh = solvePoisson(10)
35 # Plot solution
36 plt.figure(1)
37 plot(uh)
```



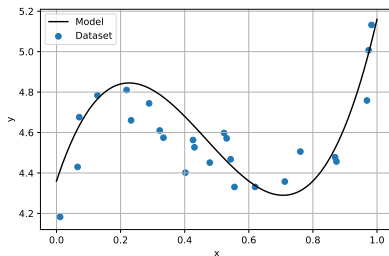
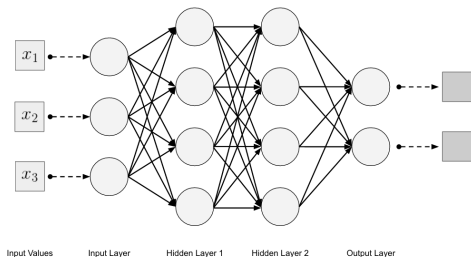
# Redes Neurais (Regressão)

- Seja  $D = \{(\mathbf{x}^{(i)}, \mathbf{y}^{(i)}); \mathbf{x}^{(i)} \in \mathbb{R}^n, \mathbf{y}^{(i)} \in \mathbb{R}^m, i = 1, \dots, N_s\}$ .



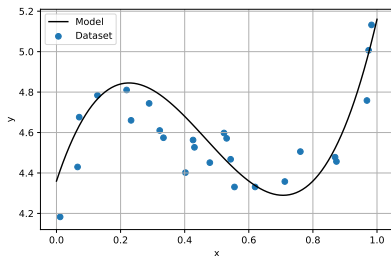
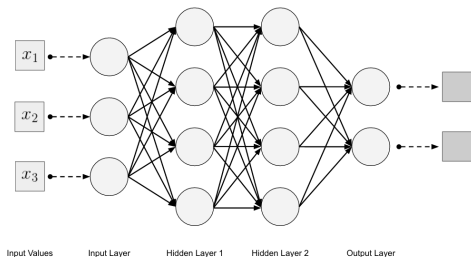
# Redes Neurais (Regressão)

- ▶ Seja  $D = \{(\mathbf{x}^{(i)}, \mathbf{y}^{(i)}); \mathbf{x}^{(i)} \in \mathbb{R}^n, \mathbf{y}^{(i)} \in \mathbb{R}^m, i = 1, \dots, N_s\}$ .
- ▶ Queremos achar  $\mathcal{N}(\cdot, \boldsymbol{\theta}) : \mathbb{R}^n \rightarrow \mathbb{R}^m$ ,  $\boldsymbol{\theta} \in \mathbb{R}^p$  tal que seja um "bom modelo" para descrever os dados.
- ▶ Problema: Achar  $\boldsymbol{\theta} = \arg \min_{\boldsymbol{\omega}} \frac{1}{N_s} \sum_{i=1}^{N_s} \|\mathcal{N}(\mathbf{x}^{(i)}, \boldsymbol{\omega}) - \mathbf{y}^{(i)}\|_2^2$  (MSE).



# Redes Neurais (Regressão)

- ▶ Seja  $D = \{(\mathbf{x}^{(i)}, \mathbf{y}^{(i)}); \mathbf{x}^{(i)} \in \mathbb{R}^n, \mathbf{y}^{(i)} \in \mathbb{R}^m, i = 1, \dots, N_s\}$ .
- ▶ Queremos achar  $\mathcal{N}(\cdot, \boldsymbol{\theta}) : \mathbb{R}^n \rightarrow \mathbb{R}^m$ ,  $\boldsymbol{\theta} \in \mathbb{R}^p$  tal que seja um "bom modelo" para descrever os dados.
- ▶ Problema: Achar  $\boldsymbol{\theta} = \arg \min_{\boldsymbol{\omega}} \frac{1}{N_s} \sum_{i=1}^{N_s} \|\mathcal{N}(\mathbf{x}^{(i)}, \boldsymbol{\omega}) - \mathbf{y}^{(i)}\|_2^2$  (MSE).
- ▶ Seja  $m = n = 1$ , o modelo mais simples é  $\mathcal{N}(x, \boldsymbol{\theta}) = s(x, \boldsymbol{\theta}) = \theta_1 x + \theta_2$ .





# Redes Neurais (Regressão)

- ▶ Seja  $D = \{(\mathbf{x}^{(i)}, \mathbf{y}^{(i)}); \mathbf{x}^{(i)} \in \mathbb{R}^n, \mathbf{y}^{(i)} \in \mathbb{R}^m, i = 1, \dots, N_s\}$ .
- ▶ Queremos achar  $\mathcal{N}(\cdot, \boldsymbol{\theta}) : \mathbb{R}^n \rightarrow \mathbb{R}^m$ ,  $\boldsymbol{\theta} \in \mathbb{R}^p$  tal que seja um "bom modelo" para descrever os dados.
- ▶ Problema: Achar  $\boldsymbol{\theta} = \arg \min_{\boldsymbol{\omega}} \frac{1}{N_s} \sum_{i=1}^{N_s} \|\mathcal{N}(\mathbf{x}^{(i)}, \boldsymbol{\omega}) - \mathbf{y}^{(i)}\|_2^2$  (MSE).
- ▶ Seja  $m = n = 1$ , o modelo mais simples é  $\mathcal{N}(x, \boldsymbol{\theta}) = s(x, \boldsymbol{\theta}) = \theta_1 x + \theta_2$ .
- ▶ Tome agora 2 neurônios na camada escondida

$$\mathcal{N}(x, \boldsymbol{\theta}) = s(x, \boldsymbol{\theta}^{(1)}) + s(x, \boldsymbol{\theta}^{(2)}) = (\theta_1^{(1)} + \theta_1^{(2)})x + (\theta_2^{(1)} + \theta_2^{(2)}) \quad (5)$$

# Redes Neurais - Adicionando não-linearidades

- ▶ Seja  $\sigma : \mathbb{R} \rightarrow \mathbb{R}$ ,  $\sigma(x) = \max(0, x)$  (ReLU).
- ▶ Redefinindo a rede

$$\mathcal{N}(\cdot, \boldsymbol{\theta}) = \sigma \circ s(\cdot, \boldsymbol{\theta}^{(1)}) + \sigma \circ s(\cdot, \boldsymbol{\theta}^{(2)})$$

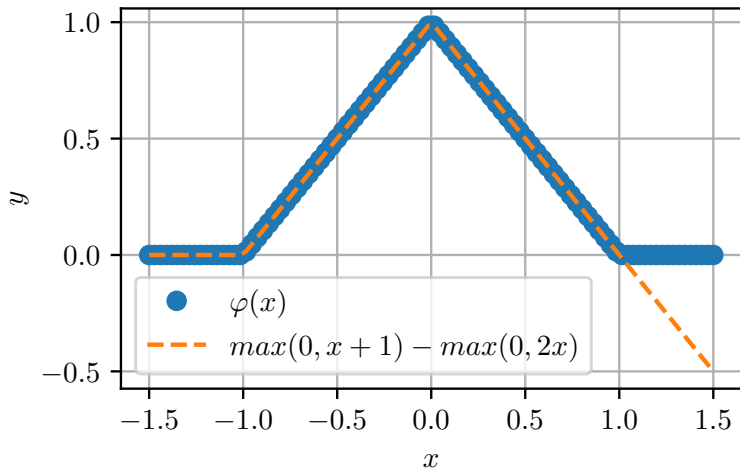
$$\mathcal{N}(x, \boldsymbol{\theta}) = \max(0, \theta_1^{(1)}x + \theta_2^{(1)}) + \max(0, \theta_1^{(2)}x + \theta_2^{(2)})$$

$$= \begin{cases} \theta_1^{(1)}x + \theta_2^{(1)} & -\frac{\theta_2^{(1)}}{\theta_1^{(1)}} \leq x \leq -\frac{\theta_2^{(2)}}{\theta_1^{(2)}} \quad (\text{hip. } \frac{\theta_2^{(2)}}{\theta_1^{(2)}} \leq \frac{\theta_2^{(1)}}{\theta_1^{(1)}}) \\ (\theta_1^{(1)} + \theta_1^{(2)})x + (\theta_2^{(1)} + \theta_2^{(2)}) & x \geq -\frac{\theta_2^{(2)}}{\theta_1^{(2)}} \\ 0 & \text{caso contrário} \end{cases}$$

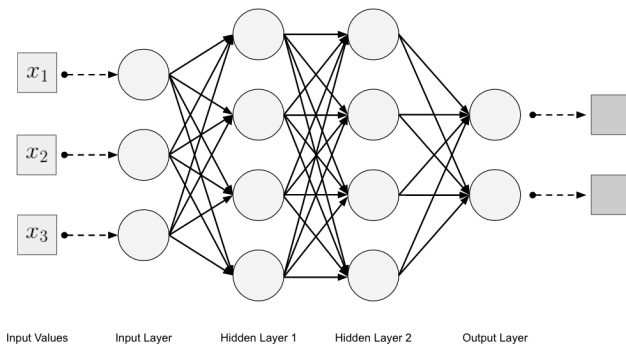
## Redes Neurais - Espaço gerado

- Função "chapéu" (polinômio de Lagrange, base de  $\mathbb{P}^1$ ).

$$\phi_0(x) = \max(0, x + 1) + \max(0, 2x + 0), \quad x \in [-1, 1] \quad (6)$$



# Redes Neurais - Generalização



# Redes Neurais - Generalização

- ▶ Seja  $L$  número de camadas internas
- ▶  $n_\ell, \ell = 1, \dots, L$ , número de neurônios cada.
- ▶  $n_0 = n, n_{L+1} = m$  camadas de entrada e saída.
- ▶ 
$$\begin{cases} \mathbf{s}_\ell(\cdot, \boldsymbol{\theta}^{(\ell)}) : \mathbb{R}^{n_{\ell-1}} \rightarrow \mathbb{R}^{n_\ell} \\ \mathbf{x} \mapsto \mathbf{s}_\ell(\mathbf{x}, \boldsymbol{\theta}^{(\ell)}) = \boldsymbol{\Theta}^{(\ell)} \mathbf{x} + \boldsymbol{\theta}_b^{(\ell)}, \\ \boldsymbol{\Theta}^{(\ell)} \in \mathbb{R}^{n_\ell \times n_{\ell-1}}, \boldsymbol{\theta}_b^{(\ell)} \in \mathbb{R}^{n_\ell} \end{cases}$$
- ▶  $\boldsymbol{\sigma} : \mathbb{R}^k \rightarrow \mathbb{R}^k, \boldsymbol{\sigma}(\mathbf{x}) = [\sigma(x_1) \ \sigma(x_2) \ \dots \ \sigma(x_k)]^t$ ,  $k$  genérico.
- ▶ Para  $\boldsymbol{\theta} = (\boldsymbol{\theta}^{(1)}, \boldsymbol{\theta}^{(2)}, \dots, \boldsymbol{\theta}^{(L)})$ ,  $\mathcal{N}(\cdot, \boldsymbol{\theta}) : \mathbb{R}^n \rightarrow \mathbb{R}^m$ .

$$\mathcal{N}(\cdot, \boldsymbol{\theta}) = \boldsymbol{\sigma} \circ \mathbf{s}_{L+1}(\cdot, \boldsymbol{\theta}^{(L+1)}) \circ \boldsymbol{\sigma} \circ \mathbf{s}_L(\cdot, \boldsymbol{\theta}^{(L)}) \circ \dots \circ \boldsymbol{\sigma} \circ \mathbf{s}_1(\cdot, \boldsymbol{\theta}^{(1)}) \quad (7)$$

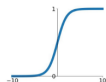
# Redes Neurais - Considerações Práticas

- Diferentes funções de ativação.

## Activation Functions

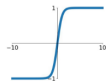
### Sigmoid

$$\sigma(x) = \frac{1}{1+e^{-x}}$$



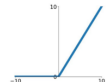
### tanh

$$\tanh(x)$$



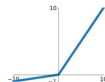
### ReLU

$$\max(0, x)$$



### Leaky ReLU

$$\max(0.1x, x)$$

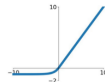


### Maxout

$$\max(w_1^T x + b_1, w_2^T x + b_2)$$

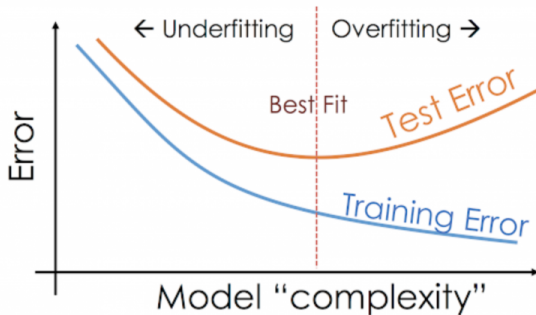
### ELU

$$\begin{cases} x & x \geq 0 \\ \alpha(e^x - 1) & x < 0 \end{cases}$$



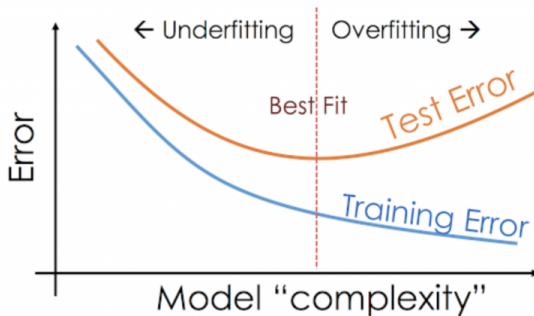
# Redes Neurais - Considerações Práticas

- ▶ Diferentes funções de ativação.
- ▶ Validação (overfit).



# Redes Neurais - Considerações Práticas

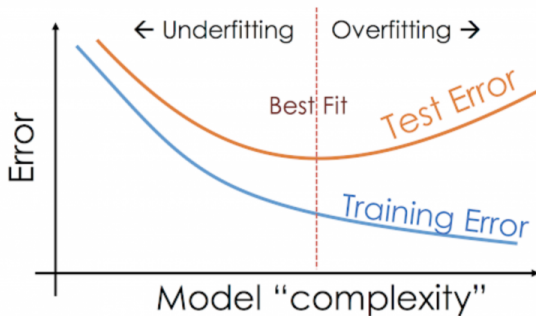
- ▶ Diferentes funções de ativação.
- ▶ Validação (overfit).
- ▶ Normalização.





# Redes Neurais - Considerações Práticas

- ▶ Diferentes funções de ativação.
- ▶ Validação (overfit).
- ▶ Normalização.
- ▶ Batch, Gradiente Estocástico, ADAM.

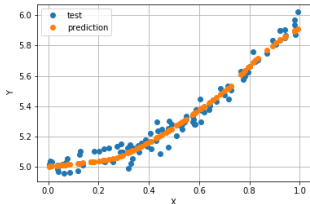
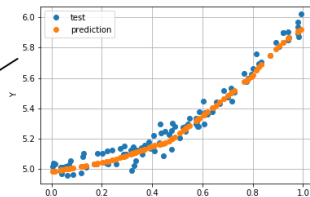


# Redes Neurais - Código base Tensorflow

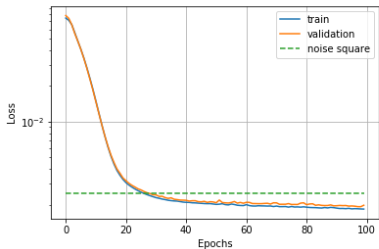
```
1 import tensorflow as tf
2 from sklearn.preprocessing import MinMaxScaler
3 import numpy as np
4 import matplotlib.pyplot as plt
5
6 # Pretty print
7 class PrintDot(tf.keras.callbacks.Callback):
8     def on_epoch_end(self, epoch, logs):
9         if epoch % 100 == 0: print('')
10         print('.', end='')
11
12 # Network settings
13 L = 2 # nb of hidden layers
14 n = 1 # input size
15 m = 1 # output size
16 Nneurons = 10 # nb neurons hidden layers
17 lr = 1.0e-3 # learning rate
18 EPOCHS = 100 # epochs to be trained
19 ratio_val = 0.2 # validation ration
20
21 labelfigs = '_L2_NN10_lr1m3'
22
23 # Creation of training dataset
24 Ns = 1000 # size dataset
25 deltaNoise = 0.05
26
27 np.random.seed(10)
28 X = np.random.rand(Ns)
29 Y = 5.0 + X*X + deltaNoise*np.random.randn(Ns)
30
31 X = X.reshape((Ns,n))
32 Y = Y.reshape((Ns,m))
33
34 scalerX = MinMaxScaler()
35 scalerX.fit(X)
36
37 scalerY = MinMaxScaler()
38 scalerY.fit(Y)
39
40 X_t = scalerX.transform(X)
41 Y_t = scalerY.transform(Y)
42
43 # Options activations: tf.nn.{tanh, sigmoid, leaky_relu, relu, linear}
44
45 # Building the architecture : L (hidden layers) + input + output layer
46 layers = [tf.keras.layers.Dense( Nneurons, activation=tf.keras.activations.linear, input_shape=(n,))]
47 for i in range(L):
48     layers.append(tf.keras.layers.Dense( Nneurons, activation=tf.nn.relu))
49 layers.append(tf.keras.layers.Dense( m, activation=tf.nn.sigmoid ))
50
51 model = tf.keras.Sequential(layers)
```

# Redes Neurais - Código base Tensorflow

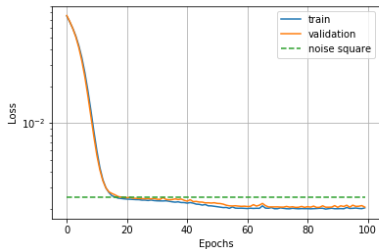
```
53 # Setting the optimisation algorithm
54 # Options optimizers: Adadelta, Adagrad, Adam, Adamax, FTRL, NAdam, RMSprop, SGD:
55 optimizer= tf.keras.optimizers.Adam(learning_rate = lr)
56 model.compile(loss = ['mse'], optimizer=optimizer, metrics=['mse','mae'])
57
58 # Fitting
59 hist = model.fit(X_t, Y_t, epochs=EPOCHS, validation_split=ratio_val, verbose=1, callbacks=[PrintDot() ], batch_size = 32)
60 model.save_weights('weights')
61 # model.load_weights('weights')
62
63
64 # Creation of test sample
65 Nt = 100
66 Xtest = np.random.rand(Nt)
67 Ytest = 5.0 + Xtest*Xtest + deltaNoise*np.random.randn(Nt)
68
69 Xtest = Xtest.reshape((Nt,n))
70 Ytest = Ytest.reshape((Nt,m))
71
72 Ypred = scalerY.inverse_transform( model.predict(scalerX.transform(Xtest))
73
74 # Plots
75 plt.figure(1)
76 plt.plot(hist.history['mse'], label = 'train')
77 plt.plot(hist.history['val_mse'], label = 'validation')
78 plt.plot([0,99],2*[deltaNoise**2], '--', label = 'noise square' )
79 plt.grid()
80 plt.xlabel('Epochs')
81 plt.ylabel('Loss')
82 plt.yscale('log')
83 plt.legend()
84 plt.savefig('historic_{0}.png'.format(labelfigs))
85 plt.show()
86
87 plt.figure(2)
88 plt.plot(Xtest[:,0], Ytest[:,0], 'o', label = 'test')
89 plt.plot(Xtest[:,0], Ypred[:,0], 'o', label = 'prediction')
90 plt.grid()
91 plt.xlabel('X')
92 plt.ylabel('Y')
93 plt.legend()
94 plt.savefig('prediction_{0}.png'.format(labelfigs))
95 plt.show()
```



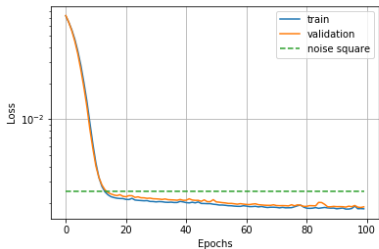
# Treinamento para algumas arquiteturas



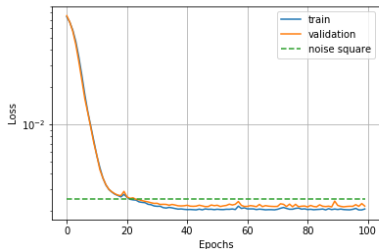
$$L = 1, N_{neurons} = 5$$



$$L = 2, N_{neurons} = 5$$



$$L = 1, N_{neurons} = 10$$



$$L = 2, N_{neurons} = 10$$

# Bases Reduzidas

- ▶ Problema Discreto : Seja  $\mathbf{A}(\boldsymbol{\mu})\mathbf{u}_h = \mathbf{f}_h(\boldsymbol{\mu})$  de dimensão  $N_h$  (grande).
- ▶ Motivação: Achar  $\mathcal{N}(\cdot, \boldsymbol{\theta}) : \mathbb{R}^{N_\mu} \rightarrow \mathbb{R}^N$ , com  $N \ll N_h$ , tal que
$$\mathbf{u}_h(\boldsymbol{\mu}) \approx \sum_{i=1}^N [\mathcal{N}(\boldsymbol{\mu}, \boldsymbol{\theta})]_i \boldsymbol{\xi}^{(i)}$$

# Bases Reduzidas

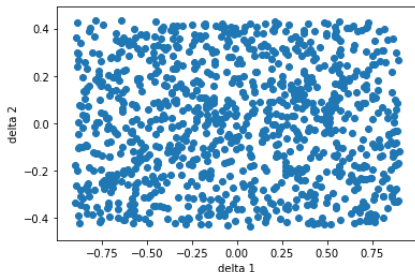
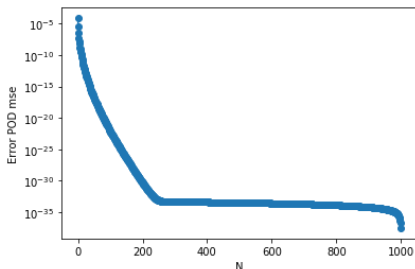
- ▶ Problema Discreto : Seja  $\mathbf{A}(\boldsymbol{\mu})\mathbf{u}_h = \mathbf{f}_h(\boldsymbol{\mu})$  de dimensão  $N_h$  (grande).
- ▶ Motivação: Achar  $\mathcal{N}(\cdot, \boldsymbol{\theta}) : \mathbb{R}^{N_\mu} \rightarrow \mathbb{R}^N$ , com  $N \ll N_h$ , tal que  $\mathbf{u}_h(\boldsymbol{\mu}) \approx \sum_{i=1}^N [\mathcal{N}(\boldsymbol{\mu}, \boldsymbol{\theta})]_i \boldsymbol{\xi}^{(i)}$
- ▶ Algoritmo:
  - ▶ Given  $\mathbb{S} = \{\mathbf{u}^{(i)}\}_{i=1}^{N_s}$ , with  $N_s = 1000$ ,  $\mathbf{u}^{(i)} \in L^2(\Omega)$
  - ▶  $\mathbf{C}$  is s.t.  $C_{ij} = (\mathbf{u}^{(i)}, \mathbf{u}^{(j)})_{L^2(\Omega)}$ ,  $1 \leq i, j \leq N_s$ .
  - ▶  $\mathbf{C} = \mathbf{V} \text{diag}(\lambda_1, \dots, \lambda_{N_s^0}) \mathbf{V}^T$ ,  $\mathbf{V}$  orthogonal.
  - ▶ for  $i = 1, \dots, N_{\max}(= N_h)$   $\boldsymbol{\xi}^{(i)} = \frac{1}{\sqrt{\lambda_i}} \sum_{j=1}^{N_s^0} V_{ij} \mathbf{u}^{(j)}$ ,  
s.t.  $(\boldsymbol{\xi}^{(i)}, \boldsymbol{\xi}^{(j)})_{L^2(\Omega)} = \delta_{ij}$
  - ▶  $\Pi_N \mathbf{w} := \sum_{i=1}^N (\mathbf{w}, \boldsymbol{\xi}^{(i)})_{L^2(\Omega)} \boldsymbol{\xi}^{(i)}$
  - ▶  $\mathcal{E}_{POD}(N) = \sum_{j=N+1}^{N_{\max}} \lambda_j = \sum_{i=1}^{N_s^0} \|\mathbf{u}^{(i)} - \Pi_N \mathbf{u}^{(i)}\|^2$
  - ▶  $\mathcal{E}_{POD}^{mse}(N) = \frac{1}{N_s} \sum_{j=N+1}^{N_{\max}} \lambda_j$

# Poisson modificado com difusividade anisotrópica

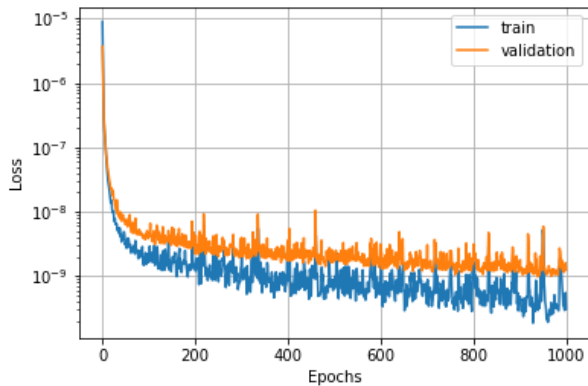
► Seja  $\Omega = [0, 1] \times [0, 1] \subset \mathbb{R}^2$ , achar  $u : \Omega \rightarrow \mathbb{R}$  tal que

$$\begin{cases} -\operatorname{div}(K(\mu_1, \mu_2)\nabla u) &= f & \text{em } \Omega \\ u &= 0 & \text{em } \partial\Omega \end{cases} \quad (8)$$

com  $K(\mu_1, \mu_2) = \begin{bmatrix} 1 + \mu_1 & \mu_2 \\ \mu_2 & 1 - \mu_1 \end{bmatrix}$ ,  $\mu_1 \in [-0.9, 0.9]$ ,  
 $\mu_2 \in [-0.43, 0.43]$ ,  $N_s = 1000$ .

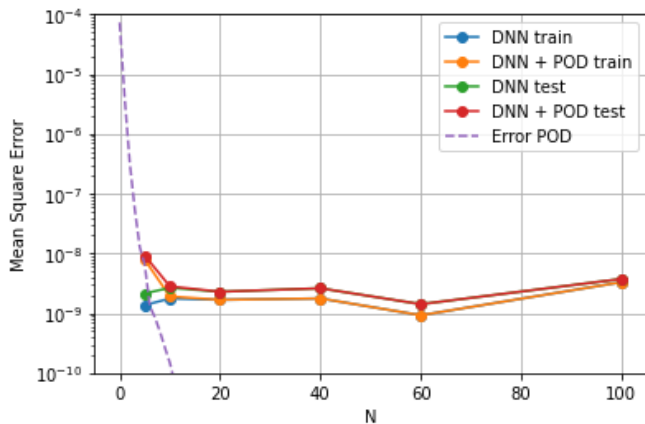


# Treinamento para $N = 60$

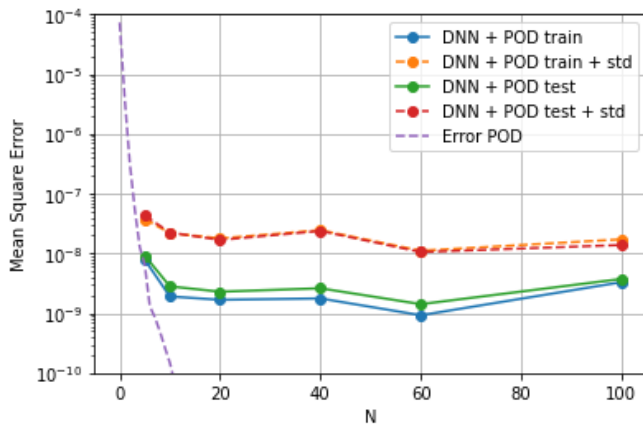




Resultados  $N \in [5, 10, 20, 40, 60, 80, 100]$



Resultados  $N \in [5, 10, 20, 40, 60, 80, 100]$



# Leitura Básica

1. Catherine F Higham and Desmond J Higham. “Deep learning: An introduction for applied mathematicians”. In:SIAM Review61.4(2019), pp. 860–891  
⇒ *Revisão bastante clara e fácil de ler.*
2. Léon Bottou, Frank E. Curtis, and Jorge Nocedal. “Optimization Methods for Large-Scale Machine Learning”. In:SIAM Review60.2 (2018), pp. 223–311.doi:10.1137/16M1080173.3  
⇒ *Paper de revisão com fundamentos de otimização não-linear com ênfase nos novos algoritmos que surgiram com o Deep Learning.*
3. Dal Santo, Deparis, Pegolotti, ”Data driven approximation of parametrized PDEs by reduced basis and neural networks”, 2020, JCP.

# Artigos em teoria de aproximação para NN

1. A. Pinkus. "Approximation theory of the MLP model in neural networks". In: Acta Numerica 8 (1999), pp. 143–195.  
⇒ *Resultados para NN de uma camada. Prova densidade e resultados de aproximação usando  $C^\infty$ . Também revisa a literatura dos anos 80 (aproximador universal).*
2. Weinan E, Chao Ma, and Lei Wu. Barron Spaces and the Compositional Function Spaces for Neural Network Models. 2019. arXiv  
⇒ *(Re)define o conceito de espaços de Barron usando ReLU como ativação e múltiplas camadas.*
3. Ingo Gühring, Gitta Kutyniok, Philipp Petersen, "Error bounds for approximations with deep ReLU neural networks in  $W^{s,p}$  norm". In: Analysis and Applications 18.05 (2020), pp. 803–859. doi:10.1142/S0219530519410021. arXiv: ⇒ *Estuda a expressividade de NN ativações lineares por parte e estabelece limites inferiores e superiores para a complexidade da rede, i.e., número de camadas e neurônios, essencialmente no contexto de espaços de Sobolev em  $W^{n,p}((0,1)^d)$ .*

Obrigado!